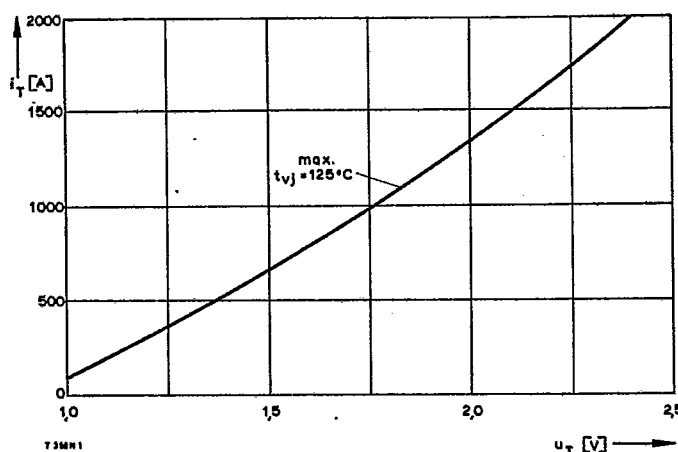
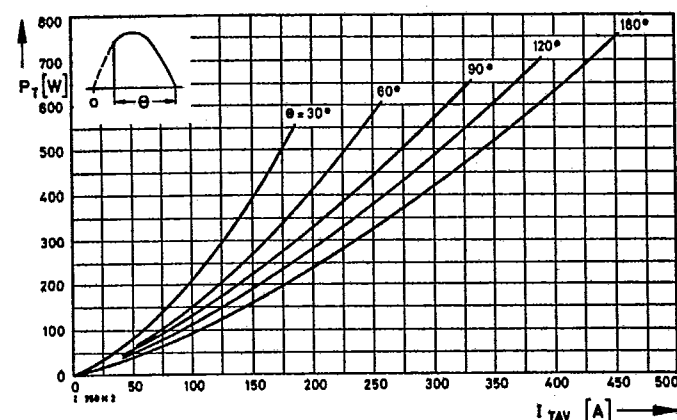


Type range	T 388 N	400*	600	800	1000	1100	1200	1400	1600	1800*
Elektrische Eigenschaften	Electrical properties									
Höchstzulässige Werte	Maximum permissible values									
U_{DRM} , U_{RRM} Periodische Vorwärts- und Rückwärts-Spitzenspannung	repetitive peak forward off-state and reverse voltages									400...1800 V
I_{TRMSM} Effektiver Durchlaßstrom	RMS on-state current									730 A
I_{TAVM} Dauergrenzstrom	average on-state current									388 A
I_{TRM} Periodischer Spitzenstrom	repetitive peak on-state current									465 A
I_{TSM} Stoßstrom-Grenzwert	surge current									4400 A
$\int i^2 dt$ Grenzlastintegral	$\int i^2 dt$ -value									260000 A ² s
$(di/dt)_{cr}$ Kritische Stromsteilheit	critical rate of rise of on-state current									205000 A ² s
$(du/dt)_{cr}$ Kritische Spannungssteilheit	critical rate of rise of off-state voltage									600 A/ μ s
										Dauerbetrieb/continuous operation, $I_{TM} = 1200$ A
										Steuergenerator/pulse generator:
										$U_L = 10$ V, $I_G = 1$ A, $di_G/dt = 1$ A/ μ s
										$U_D = 67\% U_{DRM}$
										5. Kennbuchstabe/5th letter C
										400 V/ μ s
										5. Kennbuchstabe/5th letter F
										1000 V/ μ s
Charakteristische Werte	Characteristic values									
U_T Obere Durchlaßspannung	max. on-state voltage									2,1 V
$U_{(TO)}$ Schleusenspannung	threshold voltage									0,9 V
r_T Ersatzwiderstand	slope resistance									0,75 m Ω
U_{GT} Obere Zündspannung	max. gate trigger voltage									2 V
I_{GT} Oberer Zündstrom	max. gate trigger current									200 mA
Unterer Zündstrom	min. gate trigger current									10 mA
I_H Oberer Haltestrom	max. holding current									300 mA
I_L Oberer Einraststrom	max. latching current									1,2 A
I_D, I_R Oberer Vorwärts- und Rückwärts-Sperrstrom	max. forward off-state and reverse currents									50 mA
t_{gd} Oberer Zündverzug	max. gate controlled delay time									4 μ s
t_q Typische Freiwerdezeit	typical turn-off time									220 μ s
C_{nuk} Typische Nullkapazität	typical zero capacitance									4 nF
Thermische Eigenschaften	Thermal properties									
R_{thJC} Innerer Wärmewiderstand für beidseitige Kühlung	thermal resistance, junction to case for two-sided cooling									$\leq 0,068$ °C/W
$R_{thJC(A)}$ für anodenseitige Kühlung	for anode-sided cooling									$\leq 0,065$ °C/W
$R_{thJC(K)}$ für kathodenseitige Kühlung	for cathode-sided cooling									$\leq 0,113$ °C/W
R_{thCK} Wärmewiderstand für einen Übergang zwischen Gehäuse und Kühlkörper	single sided thermal resistance,									$\leq 0,11$ °C/W
Betriebstemperatur	case to heatsink									$\leq 0,159$ °C/W
Lagertemperatur	operating temperature									$\leq 0,156$ °C/W
	storage temperature									0,02 °C/W
										-40°C...+125°C
										-40°C...+140°C
Mechanische Eigenschaften	Mechanical properties									
G Gewicht	weight									100 g
F Anpreßkraft	clamping force									5,5...8 kN
Maßbild	outline									Seite/page 235
Kriechstrecke	creepage distance									17 mm
Feuchteklassie	humidity classification									C
Schüttfestigkeit	vibration resistance									5x9,81 m/s ²

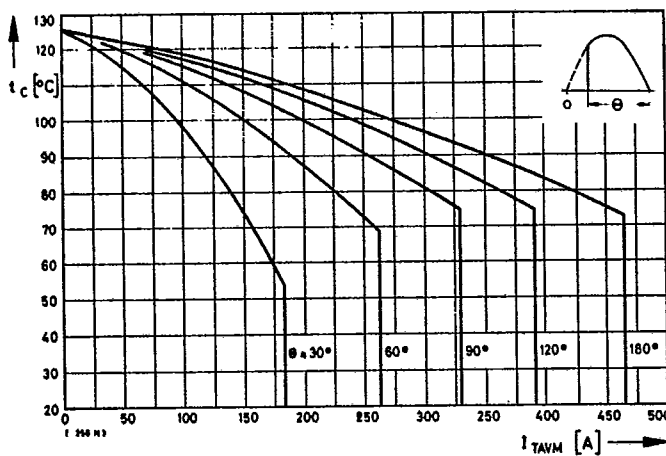
* Für größere Stückzahlen bitte Liefertermin erfragen/Delivery for larger quantities on request



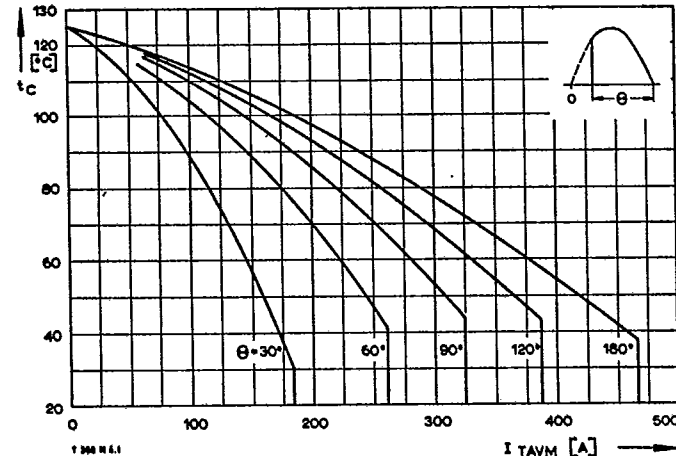
Bild/Fig. 1
Durchlaßkennlinie/On-state characteristic



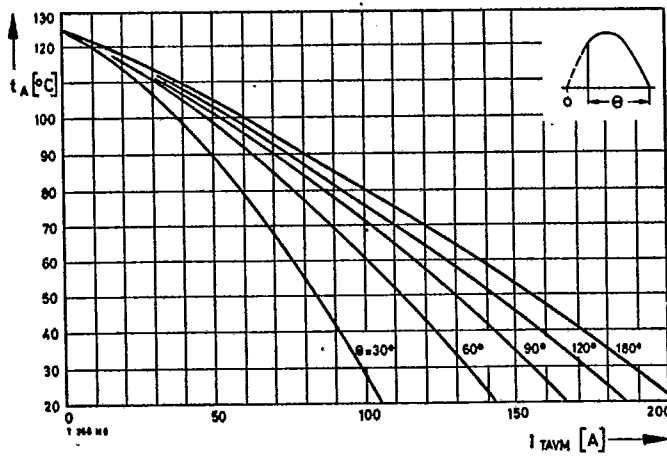
Bild/Fig. 2
Durchlaßverlustleistung P_T /On-state power loss P_T
Parameter: Stromflußwinkel Θ /current conduction angle Θ



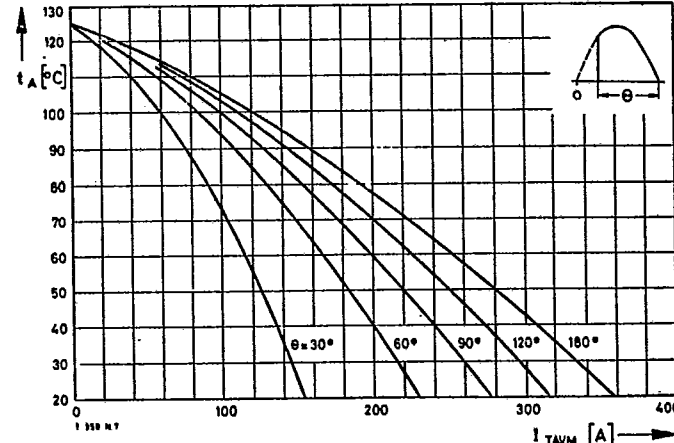
Bild/Fig. 3
Höchstzulässige Gehäusetemperatur t_c bei beidseitiger Kühlung
Maximum allowable case temperature t_c at two-sided cooling



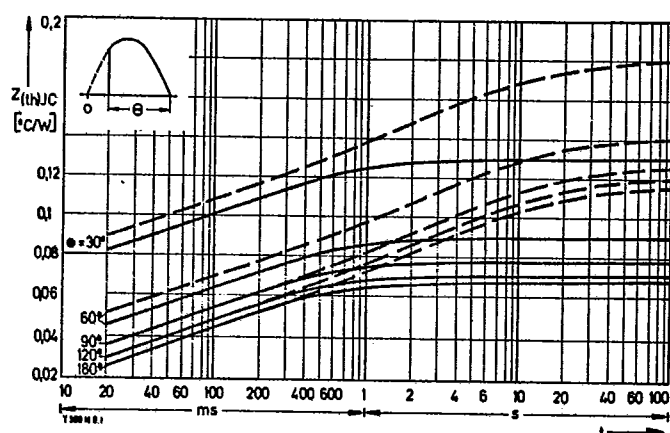
Bild/Fig. 4
Höchstzulässige Gehäusetemperatur t_c bei anodenseitiger Kühlung
Maximum allowable case temperature t_c at anode sided cooling



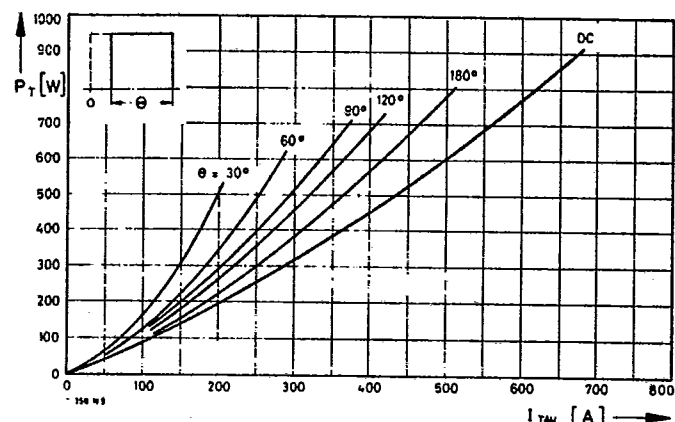
Bild/Fig. 5
Höchstzulässige Kühlmitteltemperatur t_A bei beidseitiger Luftselbstkühlung,
Kühlkörper K0,36 S.
Maximum allowable cooling medium temperature t_A at natural two-sided cooling,
heatsink type K0.36 S.



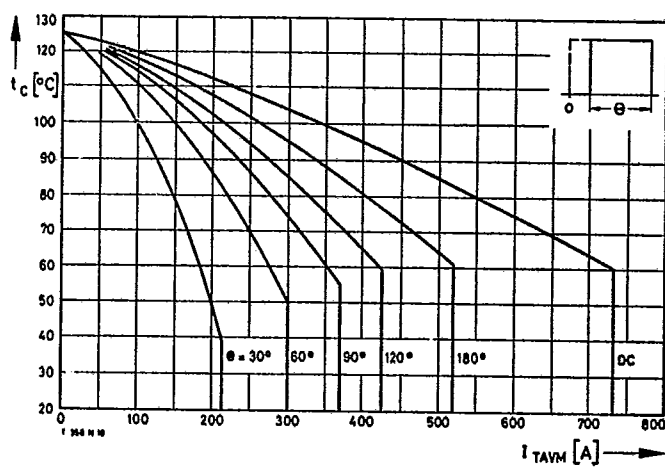
Bild/Fig. 6
Höchstzulässige Kühlmitteltemperatur t_A bei verstärkter beidseitiger Luftkühlung,
Kühlkörper K0,12 F, $V_L = 50 \text{ l/s}$.
Maximum allowable cooling medium temperature t_A at forced two-sided cooling,
heatsink type K0.12 F, $V_L = 50 \text{ l/s}$.



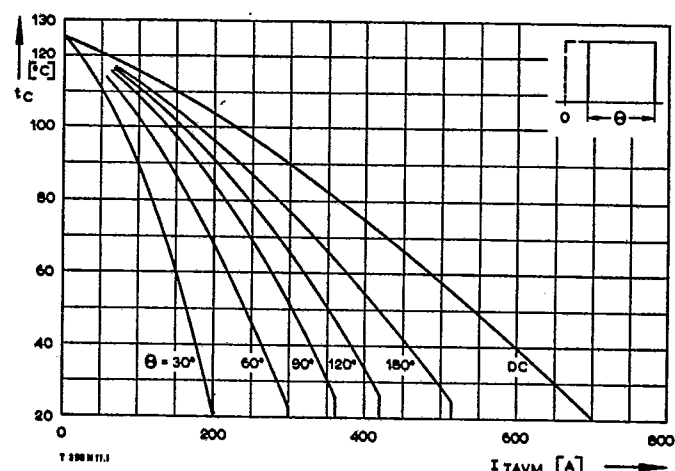
Bild/Fig. 7
Transienter innerer Wärmewiderstand Z_{thJC}
Transient thermal impedance, junction to case, Z_{thJC}
--- anodenseitige Kühlung/anode sided cooling
— beidseitige Kühlung/two-sided cooling



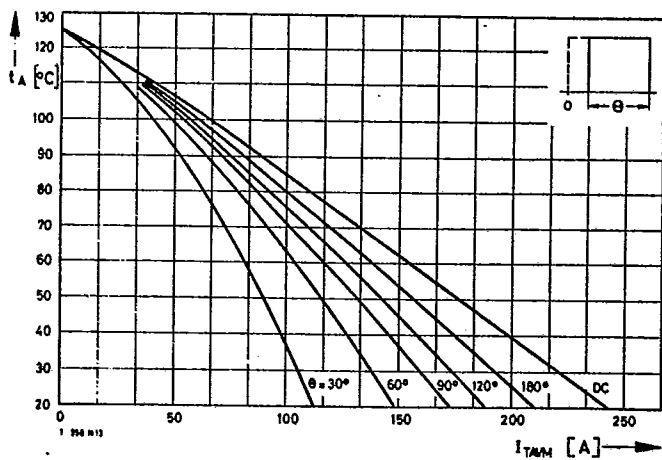
Bild/Fig. 8
Durchlaßverlustleistung P_T /On-state power loss P_T
Parameter: Stromflußwinkel Θ /current conduction angle Θ



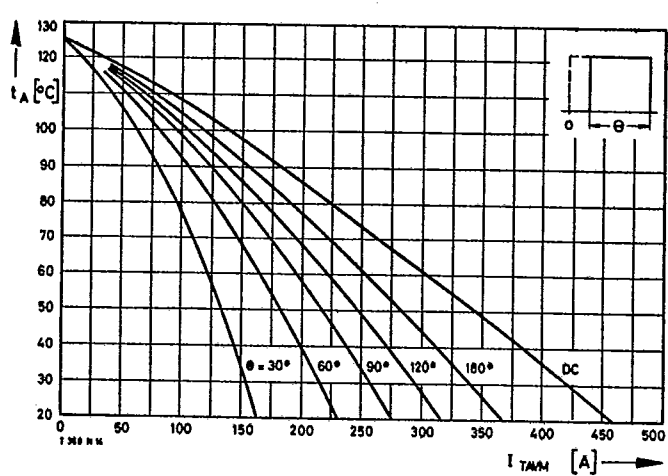
Bild/Fig. 9
Höchstzulässige Gehäusetemperatur t_c bei beidseitiger Kühlung
Maximum allowable case temperature t_c at two-sided cooling



Bild/Fig. 10
Höchstzulässige Gehäusetemperatur t_c bei anodenseitiger Kühlung
Maximum allowable case temperature t_c at anode sided cooling

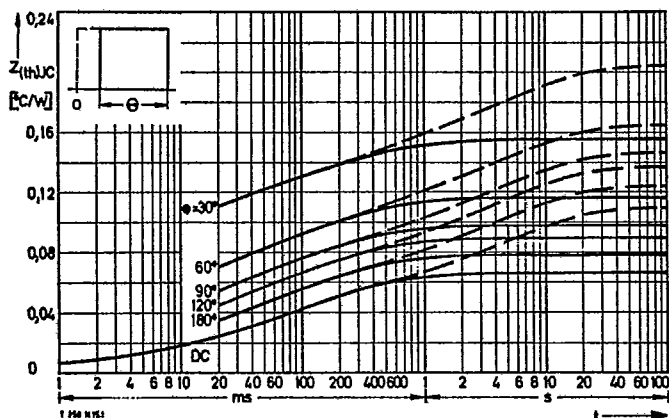


Bild/Fig. 11
Höchstzulässige Kühlmitteltемperatur t_A bei beidseitiger Luftselbstkühlung,
Kühlkörper K0,36 S.
Maximum allowable cooling medium temperature t_A at natural two-sided cooling,
heatsink type K0.36 S.

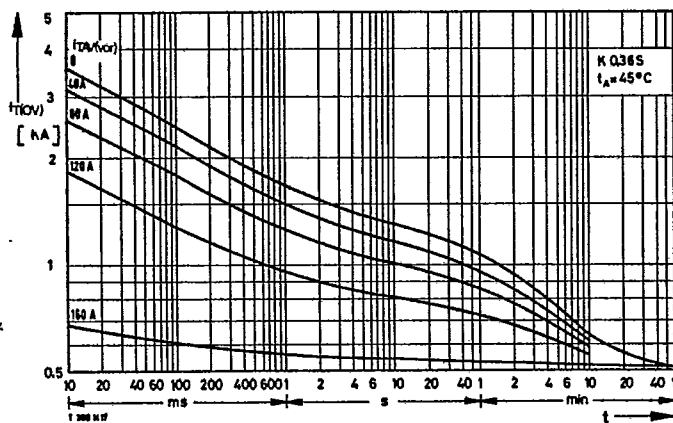


Bild/Fig. 12
Höchstzulässige Kühlmitteltemperatur t_A bei verstärkter beidseitiger Luftkühlung,
Kühlkörper K0,12 F, $V_L = 50 \text{ l/s}$.
Maximum allowable cooling medium temperature t_A at forced two-sided cooling,
heatsink type K0.12 F, $V_L = 50 \text{ l/s}$.

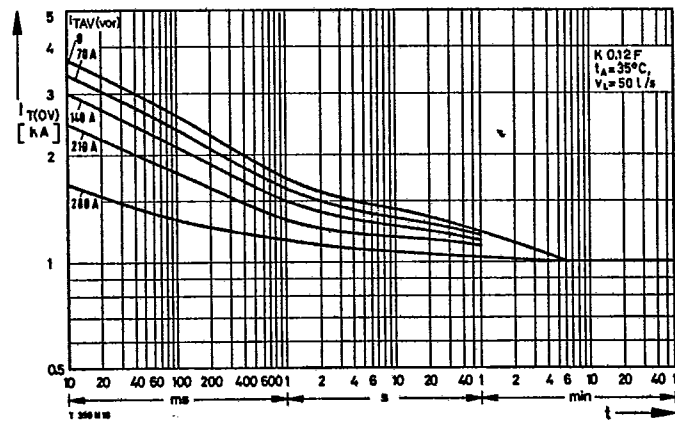
T 388 N



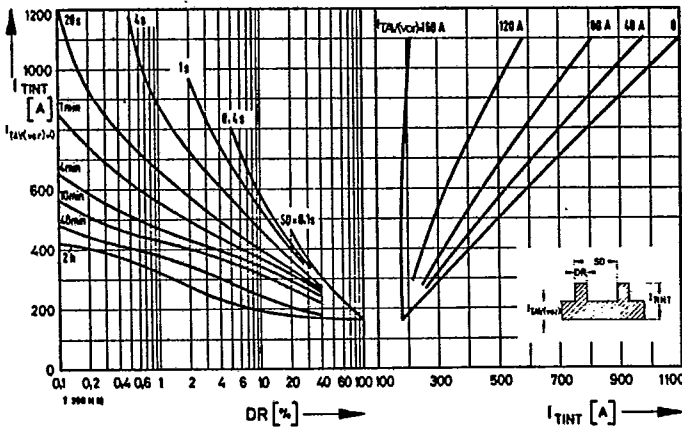
Bild/Fig. 13
Transienter innerer Wärmewiderstand Z_{thJC}
Transient thermal impedance, junction to case, Z_{thJC}
— anodenseitige Kühlung/anode sided cooling
— beidseitige Kühlung/two-sided cooling



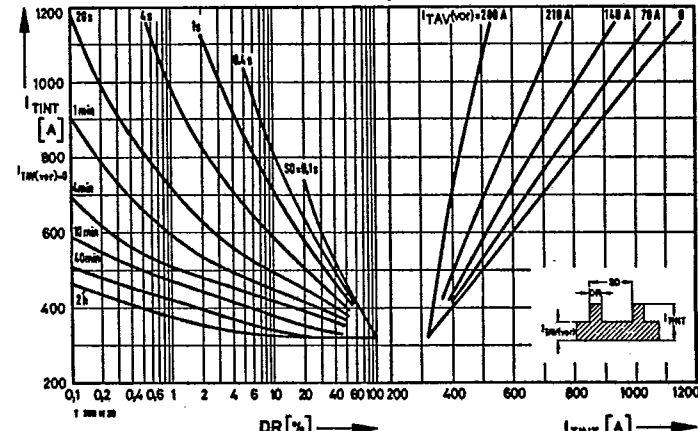
Bild/Fig. 14
Überstrom I_{TOV} bei beidseitiger Luftselbstkühlung, $t_A = 45^\circ C$,
Kühlkörper K0.36 S.
Overload on-state current I_{TOV} at natural two-sided cooling, $t_A = 45^\circ C$,
heatsink type K0.36 S.
Parameter: Vorlaststrom/pre-load current $I_{TAV(vor)}$



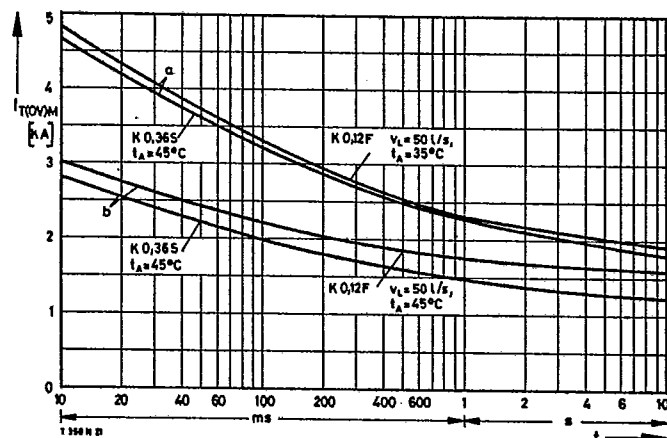
Bild/Fig. 15
Überstrom I_{TOV} bei verstärkter beidseitiger Luftkühlung, $t_A = 35^\circ C$,
Kühlkörper K0.12 F, $V_L = 50$ l/s.
Overload on-state current I_{TOV} at forced two-sided cooling, $t_A = 35^\circ C$,
heatsink type K0.12 F, $V_L = 50$ l/s.
Parameter: Vorlaststrom/pre-load current $I_{TAV(vor)}$



Bild/Fig. 16
Höchstzulässiger Durchlaßstrom I_{TINT} bei Aussetzbetrieb und beidseitiger
Luftselbstkühlung, $t_A = 45^\circ C$, Kühlkörper K0.36 S.
Limiting on-state current I_{TINT} during intermittent operation at natural two-sided
cooling, $t_A = 45^\circ C$, heatsink type K0.36 S.
Parameter: Spieldauer/cycle duration SD
Vorlaststrom/pre-load current $I_{TAV(vor)}$



Bild/Fig. 17
Höchstzulässiger Durchlaßstrom I_{TINT} bei Aussetzbetrieb und verstärkter
beidseitiger Luftkühlung, $t_A = 35^\circ C$, Kühlkörper K0.12 F, $V_L = 50$ l/s.
Limiting on-state current I_{TINT} during intermittent operation at forced two-sided
cooling, $t_A = 35^\circ C$, heatsink type K0.12 F, $V_L = 50$ l/s.
Parameter: Spieldauer/cycle duration SD
Vorlaststrom/pre-load current $I_{TAV(vor)}$



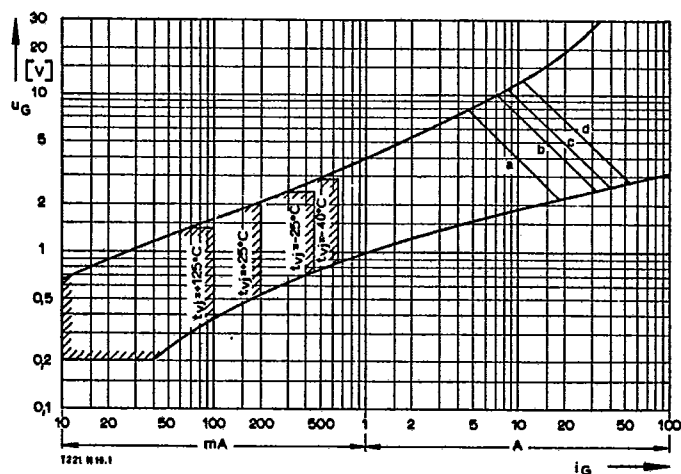
Bild/Fig. 18

Grenzstrom I_{TAVM} bei beidseitiger Kühlung, Kühlkörper K0.36 S und K0.12 F, $U_{RM} = 0.8 U_{RMM}$.

Limiting overload on-state current I_{TAVM} at two-sided cooling, heatsink type K0.36 S and K0.12 F, $U_{RM} = 0.8 U_{RMM}$.

a -- Belastung aus Leerlauf/current surge under no-load conditions

b -- Belastung nach Betrieb mit Dauergrenzstrom I_{TAVM} /current surge occurs during operation at limiting mean on-state current rating I_{TAVM}

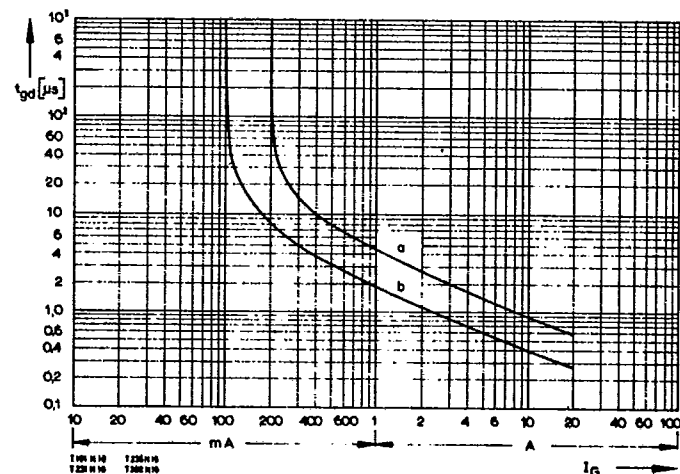


Bild/Fig. 19

Zündbereich und Spitzensteuerleistung bei $u_D \geq 6 \text{ V}$.
Gate characteristic and peak gate power dissipation at $u_D \geq 6 \text{ V}$.

Parameter:

	a	b	c	d	
Steuerimpulsdauer/Pulse duration t_g	[ms]	10	1	0,5	0,1
Höchstzulässige Spitzensteuerleistung/ Maximum allowable peak gate power	[W]	40	80	100	150



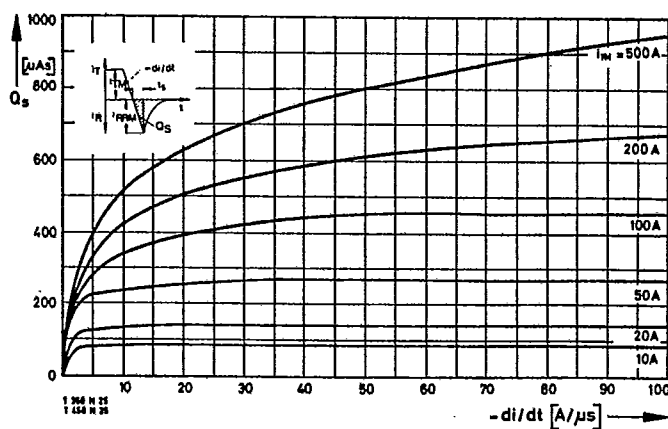
Bild/Fig. 20

Zündverzug t_{gd} bei $I_M = 100 \text{ A}$, $t_g = 25^\circ\text{C}$.

Gate controlled delay time t_{gd} at $I_M = 100 \text{ A}$, $t_g = 25^\circ\text{C}$.

a -- äußerster Verlauf/limiting characteristic

b -- typischer Verlauf/typical characteristic



Bild/Fig. 21

Nachlauffladung Q_s in Abhängigkeit von der abkommunizierenden Stromstellheit $-di/dt$ bei $t_g = 125^\circ\text{C}$.

Der angegebene Verlauf wird von 90% aller Thyristoren nicht überschritten.
Lag charge Q_s versus the rate of decay of the forward on-state current $-di/dt$ at $t_g = 125^\circ\text{C}$.

These curves are valid for 90% of all thyristors.